

Eigenschaften von Bildregionen

Prof. Dr. Klaus Jung



Verwendung / Nutzen

- Fernziel (derzeit noch nicht möglich)
 - Beschreibung des Bildinhaltes, z.B.
 - „Sonnenuntergang am Strand mit im Sand spielenden Hunden“
- Aktuelle Möglichkeiten
 - Berechnung mathematischer Eigenschaften
 - Mustererkennung (Pattern Recognition)
- Anwendungen
 - Klassifikation von Regionen
 - Optical Character Recognition (OCR)
 - Automatisches Zählen von Blutzellen
 - Inspektion von Fertigungsteilen am Fließband

2

© Kai Uwe Barthel, Klaus Jung

Siehe z.B. Floodfilling (Unterscheidung Hammer zur Zange)

Berechnung mathematischer Eigenschaften

- Erkennen von Formmerkmalen (Features)
 - Feature = numerisches oder qualitatives Merkmal
 - Z.B. Größe als Anzahl der Pixel
 - Kombination verschiedener Features
 - Feature-Vektoren
 - Erstellen einer „Signatur“ für eine Region
- Ziele
 - Einfache / schnelle Berechnung
 - Robustheit
 - Invarianz gegen Verschiebung/Drehung/Skalierung
 - Fehlertoleranz

Einfach Zahlen: z.B. Histogramme, Kantenaktivitäten, etc. hier geht es eher um statistische Größen

Buchstabe a kommt z.B. genau 2x vor, muss selbes Ergebnis haben
Oder a ist 10x größer, sollte immer noch klappen

3

© Kai Uwe Barthel, Klaus Jung

MPEG-7: Standard für Formmerkmale

- Kein Kompressionsstandard
- Ein System zur Beschreibung von multimedialen Inhalten
- Metadaten für
 - das Management der Erzeugung, Produktion und Nutzung von Inhalten
 - die Beschreibung von Inhalten in struktureller und semantischer Hinsicht,
 - die Organisation von Inhalten,
 - benutzerspezifische Daten wie Benutzerprofile
 - Aspekte des Zugriffs auf die Daten wie Ansichten und Zusammenfassungen.

4

© Kai Uwe Barthel, Klaus Jung

MPEG-7: Standard für Formmerkmale

- Technische Bestandteile
 - Descriptors
 - Repräsentation eines Features
 - Visuelle Deskriptoren
 - Audio-Deskriptoren
 - Description Schemes
 - Vordefinierte Descriptorstrukturen
 - Description Definition Language (DDL)
 - XML-Schema zur Beschreibung von Descriptors und Description Schemes

Eine eigene Sprache um dies zu beschreiben. Im visuellen Bereich wird dieser Standard kaum noch benutzt

5

© Kai Uwe Barthel, Klaus Jung

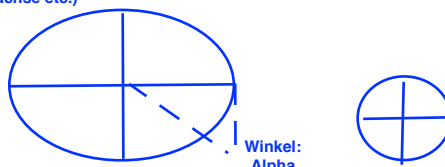
Eigenschaften von Binärregionen

- Geometrische Eigenschaften
 - Umfang
 - Fläche → Anzahl der schwarzen Pixel
 - Kompaktheit
 - Bounding Box
- Statistische Formeigenschaften
 - Schwerpunkt → Mittelwert z.B.
 - Momente
- Momentenbasierte geometrische Merkmale
 - Orientierung
 - Exzentrizität

6

© Kai Uwe Barthel, Klaus Jung

Exzentrizität: Beschreibt Ellipsenhafte Eigenschaften (Winkel zur Hauptachse etc.)



Umfang / Perimeter

Wurde bei uns mit 2er Nachbarschaft implementiert

Umfang entspricht der Summation der Längen der Konturelemente

$$Perimeter(R) = \sum_{i=0}^{M-1} length(c_i)$$

$$length(c) = \begin{cases} 1 & \text{für } c = 0, 2, 4, 6 \\ \sqrt{2} & \text{für } c = 1, 3, 5, 7 \end{cases}$$

Für die Geraden Richtungen
Für die Diagonalen Richtungen



8er Nachbarschaft besser geeignet als 4er

$$U(R) \approx 0,95 \cdot Perimeter(R)$$

Empirischer Korrekturfaktor

7 © Kai Uwe Barthel, Klaus Jung

Fläche / Area

Anzahl der in der Region R enthaltenen Punkte

$$Area(R) = N = |R|$$

$$Area(R) \approx \frac{1}{2} \left| \sum_{i=0}^{M-1} x_i \cdot (y_{i+1} - y_{i-1}) \right|$$

Gauß'sche Flächenformel für Polygone

Dabei ist $y_{i \pm 1} = y_{(i \pm 1 + M) \bmod M}$

und x_i, y_i sind die Koordinaten der Konturpunkte der Region

8 © Kai Uwe Barthel, Klaus Jung

Hier muss noch darauf geachtet werden das wenn $i=0$ ist, y_{i-1} gleich dem letzten Index entspricht

Kompaktheit, Rundheit / Circularity

Verhältnis zwischen Fläche und quadratischen Umfang $A(R)/U^2(R)$ für einen Kreis:

Area (Fläche)

Der Kreis ist das rundeste Objekt

Rundheit ist im Mengenbereich von $[0,1]$

$$U = 2\pi \cdot r$$

$$A = \pi \cdot r^2$$

$$\frac{A}{U^2} = \frac{\pi \cdot r^2}{4\pi^2 \cdot r^2} = \frac{1}{4\pi}$$

Umfang

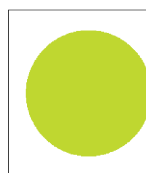
Invariant gegenüber Verschiebungen, Drehungen, Skalierung

$$Circularity(R) = 4\pi \frac{Area(R)}{Perimeter^2(R)}$$

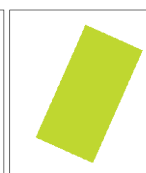
Wertebereich ist $[0,1]$

9 © Kai Uwe Barthel, Klaus Jung

Beispiele zur Kompaktheit



1.001



0.672



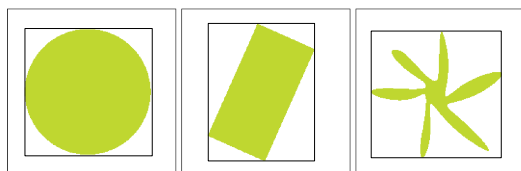
0.086

Umfang berechnet mit Korrekturfaktor $U(R) = 0.95 \cdot \text{Perimeter}$

10 © Kai Uwe Barthel, Klaus Jung

Bounding Box

$$\text{BoundingBox}(R) = (x_{\min}, y_{\min}, x_{\max}, y_{\max})$$

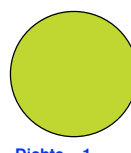


11 © Kai Uwe Barthel, Klaus Jung

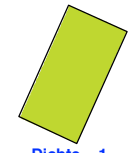
Konvexe Hülle BoundingBox-Erweitert

Kleinstes Polygon, das alle Punkte der Region umfasst

Hier eigentlich ein (unendliches Polygon)



Dichte = 1



Dichte = 1



Dichte < 1

<http://www.cs.princeton.edu/courses/archive/fall08/cos226/demo/ah/GrahamScan.html>

Man sucht den kleinsten Flächeninhalt

$$\text{Dichte} = A(R) / A(\text{ConvexHull}(R))$$

Man kann auch U & A für die Hülle berechnen

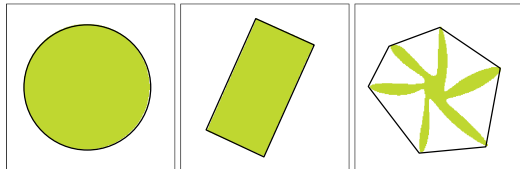
Somit können Vergleiche zwischen Hülle und Fläche gebildet werden

Verhältnis der Hülle zur Fläche

Konvexe Hülle

Konvexität heißt das ganze

Kleinstes Polygon, das alle Punkte der Region umfasst



<http://www.cs.princeton.edu/courses/archive/fall08/cos226/demo/ah/GrahamScan.html>

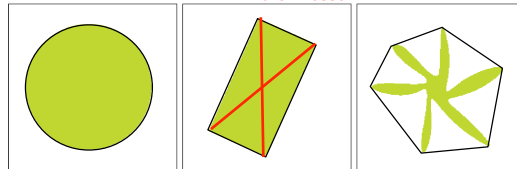
Konvexität = $U(\text{ConvexHull}(R)) / U(R)$

13 © Kai Uwe Barthel, Klaus Jung

Konvexe Hülle / den Umfang der Fläche

Konvexe Hülle

Kleinstes Polygon, das alle Punkte der Region umfasst



<http://www.cs.princeton.edu/courses/archive/fall08/cos226/demo/ah/GrahamScan.html>

Durchmesser = Max. Abstand zweier Punkte der ConvexHull(R)

Hier z.B. alle Punkte der Konvexen Hülle als Wertpaare bilden und den maximalen Abstand finden

Finden der Konvexen-Hülle mit Graham Algorithmus

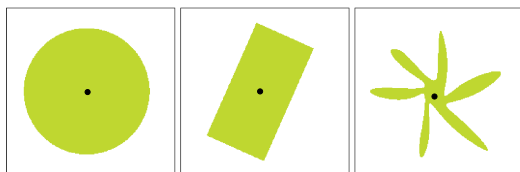
1. Finde den 1. Punkt den du findest in Scanlineorder (links nach rechts, oben nach unten)
2. Berechne Strecken zu allen anderen Punkten und berechne deren Winkel zum sortieren nach aufsteigendem Winkel
3. Verbinde Punkte nach der Sortierung
4. Sollte der Winkel nicht nach Innen gehen (Links drehen) dann muss der Vorgänger wieder genommen werden und dann wird der nächste verbunden und so weiter

Schwerpunkt

Region { Menge aus Punkten (P1, P2, etc.) }

|R| = Anzahl der Punkte

$$\bar{x} = \frac{1}{|R|} \sum_{(x,y) \in R} x \quad \text{und} \quad \bar{y} = \frac{1}{|R|} \sum_{(x,y) \in R} y$$



15 © Kai Uwe Barthel, Klaus Jung

Für alle Punkte wurden die X-Koordinaten summiert und durch die Anzahl geteilt (Mittelwert)

das gleiche für Y und das ergibt den SchwerPUNKT

Das sind statistische Größen

Momente

$m_{10} : E x$
 $m_{01} : E y$
 $m_{20} : E x^2$
 etc.

$$m_{pq} = \sum_{(x,y) \in R} I(x,y) \cdot x^p y^q \quad \text{allgemein (Graustufen)}$$

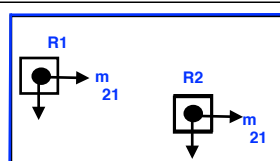
Schwarz = 1
Grau = 0.5

$$m_{pq} = \sum_{(x,y) \in R} x^p y^q \quad \text{binär} \quad E x^p \cdot y^q \quad \text{ersetzt die obigen Momente}$$

$$\text{Area}(R) = |R| = \sum_{(x,y) \in R} x^0 y^0 = \sum_{(x,y) \in R} 1 = m_{00}(R)$$

$$\bar{x} = \frac{1}{|R|} \sum_{(x,y) \in R} x^1 y^0 = \frac{m_{10}(R)}{m_{00}(R)} \quad \bar{y} = \frac{1}{|R|} \sum_{(x,y) \in R} x^0 y^1 = \frac{m_{01}(R)}{m_{00}(R)}$$

16 © Kai Uwe Barthel, Klaus Jung



Damit kann man z.B. Erkennen ob Objekte öfter vorkommen, wichtig: Jede Region muss so behandelt werden, das die Koordinatenachse vom Schwerpunkt ausgeht, sonst würden z.B. kleinere X-Werte andere Ergebnisse liefern

Zentrale Momente

Invariant gegenüber Verschiebungen

$$\mu_{pq} = \sum_{(x,y) \in R} I(x,y) \cdot (x - \bar{x})^p (y - \bar{y})^q \quad \text{allgemein (Graustufen)}$$

$$\mu_{pq} = \sum_{(x,y) \in R} (x - \bar{x})^p (y - \bar{y})^q \quad \text{binär}$$

Korrekturberechnungen um die unterschiedlich angeordneten Regionen (z.B. zwei Quadrate an unterschiedlichen Orten im Bild) vergleichen zu können.

17 © Kai Uwe Barthel, Klaus Jung

Ziel: Translation, Skalierung, Rotation sollen invariant werden

Normalisierte zentrale Momente

Wert des zentralen Moments ändert sich bei einer Skalierung der Region mit dem Faktor s um den Faktor

$$s^{(p+q+2)}$$

Normalisierte zentrale Momente:

$$\bar{\mu}_{pq} = \mu_{pq} \cdot \left(\frac{1}{\mu_{00}} \right)^{\frac{p+q+2}{2}}$$

Invariant gegenüber Verschiebungen und Skalierung

(Normierung auf die Wertänderung)

18 © Kai Uwe Barthel, Klaus Jung

Korrekturberechnungen um z.B. Skalierungs-Unterschiede zu erkennen.

Moment	Translation	Skalierung	Rotation
Zentrale Momente	j	X	X
Normalisierte. Zentrale Mom.	j	j	X
Hu-Momente	j	j	j

Orientierung einer Region

$$\varphi(R) = \frac{1}{2} \tan^{-1} \left(\frac{2 \cdot \mu_{11}(R)}{\mu_{20}(R) - \mu_{02}(R)} \right)$$

19 © Kai Uwe Barthel, Klaus Jung

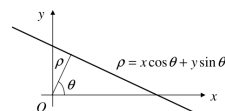
Derivation of Orientation

- The axis of second moment
 - The line for which the sum of the squared distances between object points and the line is minimum
 - Compute the **least-squares** fit of a line to the object points
 - Let r_{ij} be the distances of all object points from the line, then

$$\chi^2 = \sum_{i=1}^n \sum_{j=1}^m r_{ij}^2 B[i, j]$$

- Using polar coordinate system, let $\rho = x \cos \theta + y \sin \theta$, then for each objects to the line

$$r_{ij}^2 = (x_{ij} \cos \theta + y_{ij} \sin \theta - \rho)^2$$



Huei-Yung Lin

Machine Vision

CCUEE, RVL

Derivation of Orientation

- Thus, $\chi^2 = \sum_{i=1}^n \sum_{j=1}^m (x_{ij} \cos \theta + y_{ij} \sin \theta - \rho)^2 B[i, j]$
- Take the derivative w.r.t. ρ , set to zero, and solve for ρ :

$$\frac{\partial \chi^2}{\partial \rho} = -2 \sum_{i=1}^n \sum_{j=1}^m (x_{ij} \cos \theta + y_{ij} \sin \theta - \rho) B_{ij}$$

$$\Rightarrow \rho = \bar{x} \cos \theta + \bar{y} \sin \theta$$

- Let $x' = x - \bar{x}$ and $y' = y - \bar{y}$, then $\chi^2 = a \cos^2 \theta + b \sin \theta \cos \theta + c \sin^2 \theta$ with*

$$a = \sum_{i=1}^n \sum_{j=1}^m (x_{ij}')^2 B[i, j], \quad b = 2 \sum_{i=1}^n \sum_{j=1}^m x_{ij}' y_{ij}' B[i, j], \quad c = \sum_{i=1}^n \sum_{j=1}^m (y_{ij}')^2 B[i, j]$$

- Thus, $\chi^2 = \frac{1}{2}(a+c) + \frac{1}{2}(a-c) \cos 2\theta + \frac{1}{2}b \sin 2\theta$
- Take the derivative w.r.t. θ , set to zero, and solve for θ :

$$\tan 2\theta = \frac{b}{a-c}$$

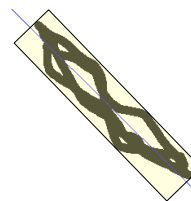
Huei-Yung Lin

Machine Vision

CCUEE, RVL

Exzentrizität einer Region

Suche nach der gedrehten Bounding-Box mit maximalem Seitenverhältnis



$$Eccentricity(R) = \frac{[\mu_{20}(R) - \mu_{02}(R)]^2 + 4 \cdot [\mu_{11}(R)]^2}{[\mu_{20}(R) + \mu_{02}(R)]^2}$$

Wertebereich ist [0,1]

22

© Kai Uwe Barthel, Klaus Jung

Invariante Momente

Normalisierte zentrale Momente sind unabhängig von Ort und Skalierung.

Hu's Momente kombinieren diese so, dass sie unabhängig von der Rotation werden.

$$H_1 = \bar{\mu}_{20} + \bar{\mu}_{02}$$

$$H_2 = (\bar{\mu}_{20} - \bar{\mu}_{02})^2 + 4 \bar{\mu}_{11}^2$$

$$H_3 = (\bar{\mu}_{30} - 3 \bar{\mu}_{12})^2 + (3 \bar{\mu}_{21} - \bar{\mu}_{03})^2$$

$$H_4 = (\bar{\mu}_{30} + \bar{\mu}_{12})^2 + (\bar{\mu}_{21} + \bar{\mu}_{03})^2$$

$$H_5 = (\bar{\mu}_{30} - 3 \bar{\mu}_{12}) \cdot (\bar{\mu}_{30} + \bar{\mu}_{12}) \cdot [(\bar{\mu}_{30} + \bar{\mu}_{12})^2 - 3(\bar{\mu}_{21} + \bar{\mu}_{03})^2] + (3 \bar{\mu}_{21} - \bar{\mu}_{03}) \cdot (\bar{\mu}_{21} + \bar{\mu}_{03}) \cdot [3(\bar{\mu}_{30} + \bar{\mu}_{12})^2 - (\bar{\mu}_{21} + \bar{\mu}_{03})^2]$$

$$H_6 = (\bar{\mu}_{20} - \bar{\mu}_{02}) \cdot [(\bar{\mu}_{30} + \bar{\mu}_{12})^2 - (\bar{\mu}_{21} + \bar{\mu}_{03})^2] + 4 \bar{\mu}_{11} \cdot (\bar{\mu}_{30} + \bar{\mu}_{12}) \cdot (\bar{\mu}_{21} + \bar{\mu}_{03})$$

$$H_7 = (3 \bar{\mu}_{21} - \bar{\mu}_{03}) \cdot (\bar{\mu}_{30} + \bar{\mu}_{12}) \cdot [(\bar{\mu}_{30} + \bar{\mu}_{12})^2 - 3(\bar{\mu}_{21} + \bar{\mu}_{03})^2] + (3 \bar{\mu}_{12} - \bar{\mu}_{30}) \cdot (\bar{\mu}_{21} + \bar{\mu}_{03}) \cdot [3(\bar{\mu}_{30} + \bar{\mu}_{12})^2 - (\bar{\mu}_{21} + \bar{\mu}_{03})^2]$$

	Winkel	Ecc	H1	H2	H3	H4
K	-74	0.162	0.329	-0.116	-0.00920	0.00088
K	-74	0.157	0.319	-0.111	-0.00570	0.00070
●	0	0.006	0.160	0.013	0.00000	0.00000
●	0	0.000	0.159	0.000	0.00000	0.00000
G	-53	0.014	0.446	-0.018	-0.09092	0.00461
G	-89	0.017	0.446	-0.058	0.06346	0.00474
●	25	0.741	0.313	0.129	0.00025	0.00000
●	43	0.348	0.203	-0.006	-0.00037	0.00001
●	40	0.964	0.932	-0.640	0.10054	0.00061